

DOI: 10.35681/1560-9189.2022.24.2.275041

УДК 004.2.056.55

**Д. В. Євграфов, Ю. Є. Яремчук**

Вінницький національний технічний університет  
Хмельницьке шосе, 95, 21021 Вінниця, Україна

## **Розподілення амплітуди шумового генератора для придушення побічних електромагнітних випромінювань з екрана монітора**

*Розглянуто структуру сучасного широкосмугового шумового генератора для боротьби з побічними електромагнітними випромінюваннями та наведеннями, який генерує випадковий цифровий код і перетворює його на безперервний сигнал. Досліджено вплив сигналу генератора на ймовірність хибної тривоги технічного засобу розвідки противника, узгодженого з сигналом побічних випромінювань і наведень з екранів моніторів на рідинно-кристалічних структурах. Доведено, що вплив пропорційний дисперсії шумового сигналу. Приведено дослідження сигналу віброакустичного генератора шуму «Марс» у програмному продукті Excel, за структурою схожого на сучасний шумовий генератор для боротьби з побічними електромагнітними випромінюваннями. У припущенні, що сигнал ідеального шуму близький до рівномірно розподіленого, знайдено подання розподілення амплітуди рядом з парними поліномами Лежандра першого роду. Показано, що в разі ускладнення розрахункової задачі пошуку випадкових кодів їх можна замінити гармоніками з дискретними рівномірно розподіленими фазами або дискретними рівномірно розподіленими випадковими величинами.*

**Ключові слова:** побічні електромагнітні випромінювання та наведення, монітори на рідинно-кристалічних структурах, білий гаусівський шум, системи ортогональних поліномів, поліноми Лежандра першого роду.

### **Вступ**

Сучасні способи генерування шумового сигналу для активного захисту інформації від витоку через побічні електромагнітні випромінювання і наведення (ПЕМВІН) потребують розуміння того, що змінилося з часів переходу на цифрові технології генерування шумових сигналів.

Припустимо, що нам треба створити генератор шуму (ГШ) активного захисту інформації від витоку через ПЕМВІН, що складається з мікропроцесорної системи

© Д. В. Євграфов, Ю. Є. Яремчук

(МПС) для генерації випадкових цифрових кодів  $i$ ,  $i = 1, \dots, 2^M$ ,  $M$ -розрядного цифро-аналогового перетворювача (ЦАП) і фільтра низької частоти (ФНЧ), поданого на рис. 1.

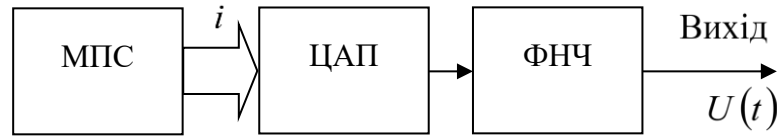


Рис. 1. Структура сучасного ГШ для боротьби з ПЕМВІН

Продуктивність сучасних МПС дозволяє створювати випадкові цифрові послідовності з періодами дискретизації  $T_d \geq 0,7 \cdot 10^{-10}$  с [1], які після перетворення в ЦАП і ФНЧ в напругу  $U(t) \in [-U_{\max}, U_{\max}]$ ,  $U_{\max}$  — максимальне значення напруги ГШ, ефективно придушують ПЕМВІН у смузі частот від мінімальної  $F_{\min}$  до максимальної  $F_{\max}$ , забезпеченими відповідно до теореми Шенона-Котельникова для  $T_d \leq 1/[2(F_{\max} - F_{\min})]$ . Отже, потенційні можливості сучасної МПС дозволяють створювати ГШ із заданими спектральними характеристиками, ефективні спектри яких  $\Delta F = F_{\max} - F_{\min}$  сягають до 7 ГГц!

Коли як джерело випадкового сигналу ГШ використовувалися напівпровідникові елементи, розподілення амплітуд їхніх безперервних реалізацій вважалися гаусівськими, а для оцінювання якості шуму застосовувалися коефіцієнти, які характеризували їхню близькість до гаусівсько-розподілених випадкових величин [2]. Це не було наслідком обґрунтування «ідеальності» гаусівського шуму, а витікало із можливостей кінця 80-х років генерувати широкосмугові випадкові сигнали [3, 4].

На той час:

- способи генерування безперервних широкосмугових шумових сигналів не передбачали іншого розподілення амплітуд, крім гаусівського;
- було розроблено математичну теорію двовимірних гаусівських процесів і їхню ідеалізацію у вигляді білого гаусівського шуму (БГШ);
- усі наявні методики оцінювання якості ГШ були спрямовані на порівняння їхніх параметрів з гаусівськими, тому що не існувало інструментарію оцінювання розподілень шумових сигналів, відмінних від гаусівських.

Отже, в задачах генерування шумових сигналів раніше не розглядали питання розподілення їхніх амплітуд. Якщо «шуму не вистачало» просто збільшували його потужність (дисперсію гаусівсько-розподіленої амплітуди). Але, коли йдеться про сучасні цифрові технології генерування шумового сигналу у вигляді напруги  $U(t)$ , обмеженої інтервалом  $[-U_{\max}, U_{\max}]$ , можна поставити та розв'язати задачу пошуку розподілення амплітуди в зазначеному інтервалі амплітуд, що в кращій спосіб придушуватиме витік інформації.

## Постановка задачі

Розглянемо ГШ, який не змінює своїх енергетичних характеристик у рівномірному спектрі частот від  $F_{\min}$  до  $F_{\max}$ . Припустимо, що в системі захисту інформації від витоку із засобу обчислювальної техніки (ЗОТ) він наводить в антенній системі технічного засобу розвідки (ТЗР) противника сигнал  $U_{ш\text{ пр}}(t)$ , а ЗОТ — сигнал  $U_{с\text{ пр}}(t)$ , що подано на рис. 2.

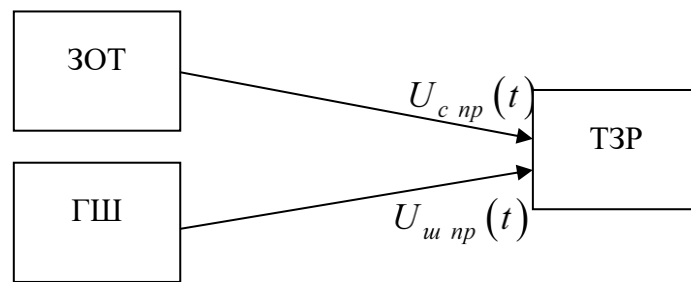


Рис. 2. Система захисту технічного каналу витоку інформації

Знехтуємо природніми й індустріальними перешкодами і вважатимемо, що на виході антенної системи ТЗР напруга дорівнюватиме:  $U_{с\text{ пр}}(t) + U_{ш\text{ пр}}(t)$ . Припустимо, також, що антенна система на виході ГШ і середовище поширення радіохвиль від ГШ до ТЗР мінімально перетворюють спектр сигналу (крім, зрозуміло, постійної складової) таким чином, що

$$U_{ш\text{ пр}}(t) = \gamma U(t), \quad (1)$$

де  $\gamma$  — деяка константа, яка залежить від концентрації електромагнітної енергії (ЕМЕ) антенними системами ГШ і ТЗР, а також від процесів згасання ЕМЕ у просторі;  $U(t)$  — сигнал на виході ГШ.

Нехай ідеться про протидію витоку інформації з екрана монітора на рідиннокристалічних структурах ЗОТ, на екрані якого протягом часу аналізу  $T_a$  не змінюється картинка, а противнику відома частота кадрової розгортки монітора  $f_k$ . У цьому випадку ТЗР накопичує сигнали витоку інформації  $U_{с\text{ пр}}(t)$  у лінійній системі з гребеневою амплітудно-частотною характеристикою, центральні частоти гребенів якої відстають одна від одної на  $f_k$ , а ширина кожного гребеня дорівнює  $1/T_a$  (див. рис. 3) [5].

Виявлювач сигналу ПЕМВІН складається із гребеневого фільтра (ГФ), детектора огинаючої (ДО) і порогового пристрою (ПП). Рішення про наявність ПЕМВІН приймається, коли сигнал перевищує деякий поріг виявлення  $h$ , а ймовірність хибної тривоги сигналу ПЕМВІН дорівнюватиме:

$$F = \int_h^{\infty} w_0(y) dy, \quad (2)$$

де  $w_0(y)$  — густина ймовірності розподілення сигналу  $y(T_a)$ , коли у вхідній реалізації сигналу ПЕМВІН немає.

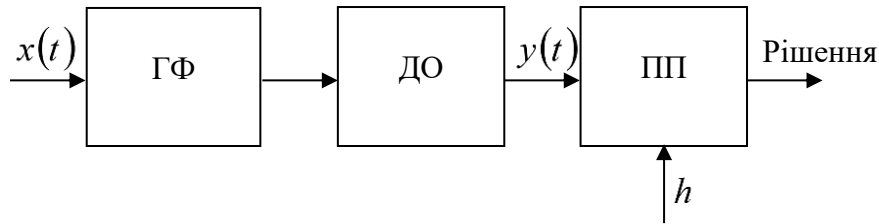


Рис. 3. Структура ТЗР як виявлювача сигналу ПЕМВІН

Лінійний тракт ТЗР – ГФ являє собою  $n = \Delta F / f_{\kappa}$  смугових фільтрів з шириною перепускання  $1 / T_a$ , загальна смуга перепускання яких приблизно дорівнюватиме  $\Delta f \approx \Delta F / f_{\kappa} T_a$ . Коли ЗОТ вимкнений, і внутрішній шумовий процес ТЗР незалежний від сигналу ГШ, сигнал перед ДО є фактично реакцією вузькосмугової лінійної системи на зовнішній і внутрішній шуми, яка розподілена за центрованим гаусовським законом із дисперсією

$$\sigma^2 = \frac{1}{f_{\kappa} T_a} (\gamma^2 \sigma_{u_i}^2 + N_0 \Delta F), \quad (3)$$

де  $\sigma_{u_i}^2$  — дисперсія випадкового сигналу  $U(t)$ ;  $N_0$  — однобічна спектральна густина потужності білого гаусівського шуму (БГШ) приймача ТЗР. Тому густина ймовірності розподілення процесу на виході ДО  $w_0(y)$  має релесівський характер, а ймовірність хибної тривоги (2) можна розрахувати за виразом

$$F = \exp\left(-\frac{h^2}{2\sigma^2}\right). \quad (4)$$

Імовірність (4) тим більша для фіксованого  $h$ , чим більшою є дисперсія (3), а для фіксованих  $N_0, f_{\kappa}, T_a$ , які не залежать від параметрів ГШ, якість генерованого шумового сигналу тим краща, чим більшим є добуток  $\gamma^2 \sigma_{u_i}^2$ .

*Мета роботи:* обґрунтувати розподілення випадкового стаціонарного процесу на виході ГШ  $U(t)$ ,  $U(t) \in [-U_{\max}, U_{\max}]$ , яке дозволяє отримати максимальне значення добутку  $\gamma^2 \sigma_{u_i}^2$ .

## Розв'язання задачі для не вироджених безперервних розподілень

Оскільки стаціонарний процес  $U(t)$  — безперервний на інтервалі визначення  $U \in [-U_{\max}, U_{\max}]$ , задача зводиться до пошуку густини розподілення процесу  $w(U)$ , для якої

$$\sigma_{ш}^2 = \int_{-U_{\max}}^{U_{\max}} U^2 w(U) dU - \left( \int_{-U_{\max}}^{U_{\max}} U w(U) dU \right)^2 \rightarrow \max. \quad (5)$$

Спростимо її розв'язання розглядом не вироджених на усьому інтервалі визначення симетричних відносно осі ординат густин розподілення процесу  $w(U) = w(-U)$ , для яких (5) спрощується:

$$\sigma_{ш}^2 = \int_{-U_{\max}}^{U_{\max}} U^2 w(U) dU \rightarrow \max. \quad (6)$$

Якщо ГШ генерує БГШ, обмежений знизу рівнем  $-U_{\max}$  і зверху — рівнем  $U_{\max}$ , густину ймовірності можна подати усіченим гаусівським законом [6]:

$$w(U) = \frac{1}{\Phi\left(\frac{U_{\max}}{\sqrt{2}\sigma}\right)\sigma\sqrt{2\pi}} \exp\left[-\frac{U^2}{2\sigma^2}\right], \quad U \in [-U_{\max}, U_{\max}], \quad (7)$$

де  $\Phi(x)$  — функція Крампа;  $\sigma^2$  — дисперсія гаусівського процесу у вільному просторі.

Дисперсія густини (7) сягає максимуму

$$\sigma_{ш}^2 = \frac{U_{\max}^2}{3}, \quad (8)$$

коли  $\sigma \gg U_{\max}$ , а сама густина ймовірності перетворюється на рівномірно розподілену:

$$w(U) = \frac{1}{2U_{\max}} \left( 1 - 0\left(\frac{U^2}{\sigma^2}\right) \right), \quad U \in [-U_{\max}, U_{\max}]. \quad (9)$$

Саме рівномірно, а не гаусівсько-розподіленими є амплітуди, наприклад, сучасного віброакустичного ГШ «МАРС-ТЗО-4-2». Сигнал генератора був досліджений дискретизацією у 16-розрядному аналого-цифровому перетворювачі 440992 відліків шуму з подальшим розрахунком у програмному середовищі Excel розподілень амплітуд  $p_i$ . Результати обробки доводять, що розподілення  $p_i$ ,  $i = 0, 1, \dots, 65535$ , ГШ «Марс» має рівномірний регулярний характер (див. рис. 4,а),

а кількість амплітудних гребенів між амплітудами від 0 до 65535 сягає 256. Якщо збільшити масштаб кожного гребеня можна побачити, що його амплітуди монотонно зростають, а потім — згасають (див. рис. 4,б).

Таке розподілення амплітуд на виході ГШ «Марс» свідчить про те, що його МПС для формування цифрового коду шумового сигналу є 33-розрядним регістром зі зворотнім зв'язком [7], рівномірно розподілений код якого перетворюється в  $M = 8$ -розрядному ЦАП (256 градацій амплітуди) у напругу. Те, що гребінці амплітуд (рис. 4,б) мають покатий характер свідчить про те, що на виході ЦАП також, як і у ГШ рис. 1, встановлений ФНЧ.

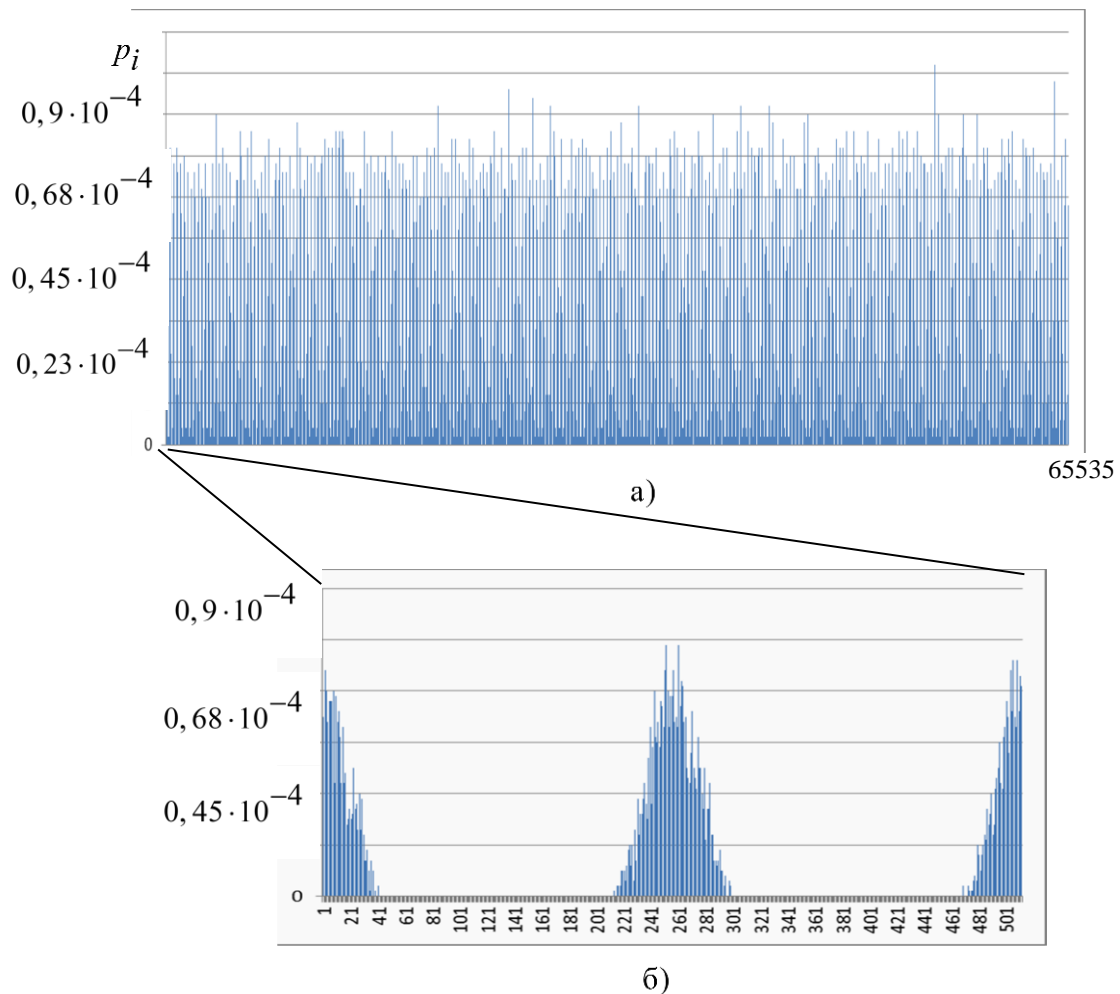


Рис. 4. Оцінки розподілень амплітуд ГШ «Марс»: а) усі амплітуди; б) збільшена за масштабом частка амплітуд

Оскільки шукана густина ймовірності розподілення амплітуди ГШ  $w(U)$  з максимальною дисперсією близька до рівномірно розподіленої (9), подамо її рядом:

$$w(U) = \frac{1}{2U_{\max}} \sum_{n=0}^{\infty} C_n P_n \left( \frac{U}{U_{\max}} \right), \quad U \in [-U_{\max}, U_{\max}], \quad (10)$$

де  $P_n(U)$  — поліноми Лежандра 1-го роду, що отримані на інтервалі ортогональності  $[-U_{\max}, U_{\max}]$  з ваговою функцією  $1/2U_{\max}$ ;  $C_n$  — деякі невідомі коефіцієнти.

Поліноми  $P_n(U)$  є непарними функціями для будь-яких непарних  $n$ , і парними — для будь-яких парних  $n$ , а в силу того, що  $w(U) = w(-U)$  в (10):

$$C_{2n+1} = 0, \forall n \geq 0,$$

і підстановка (10) у (6) та інтегрування в (6) призводить до необхідності виконання умови:

$$\sum_{n=0}^{\infty} \frac{C_{2n}}{\Gamma\left(\frac{5}{2} + n\right)\Gamma(2-n)} \rightarrow \max, \quad (11)$$

де  $\Gamma(x)$  — гама-функція.

Для  $n \geq 2$  усі члени ряду (11) дорівнюють нулю, якщо  $\forall C_{2n} \neq \infty$ , а умова пошуку максимальної дисперсії спрощується:

$$\frac{C_0}{\Gamma\left(\frac{5}{2}\right)} + \frac{C_2}{\Gamma\left(\frac{7}{2}\right)} \rightarrow \max, \quad (12)$$

і в простішому випадку, коли  $C_n = 0$  для  $n = 1$  та  $n \geq 3$ , шукана густина ймовірності (10) дорівнюватиме

$$w(U) = \frac{1}{2U_{\max}} \left( C_0 + C_2 \frac{3}{2} \left( \frac{U}{U_{\max}} \right)^2 - \frac{C_2}{2} \right), \quad U \in [-U_{\max}, U_{\max}], \quad (13)$$

звідки в силу нормування:  $C_0 = 1$ , а в силу (12) і позитивності (13) —  $C_2 = 2$ . Отже, шукана густина ймовірності (13) з максимальною дисперсією

$$\sigma_{uu}^2 = \frac{3U_{\max}^2}{5} \quad (14)$$

матиме параболічну густину ймовірності:

$$w(U) = \frac{3}{2U_{\max}^3} U^2, \quad U \in [-U_{\max}, U_{\max}]. \quad (15)$$

Як бачимо, (14) при тій же  $U_{\max}$  майже в два рази більша за (8).

Густину ймовірності розподілення (15) можна замінити на схожу і отриману перетворенням рівномірно розподіленої фази сигналу  $\varphi$ ,  $\varphi \in [0, 2\pi]$ , для гармоніки з амплітудою  $U_{\max}$ :  $U = U_{\max} \sin(\varphi)$ , для якої:

$$w(U) = \frac{1}{\pi U_{\max} \sqrt{1 - \left(\frac{U}{U_{\max}}\right)^2}}, U \in [-U_{\max}, U_{\max}],$$

а дисперсія — є лише на одну десяту меншою за (14):

$$\sigma_{ш}^2 = \frac{U_{\max}^2}{2}. \quad (16)$$

Густини ймовірностей найбільш ефективних розподілень амплітуд ГШ подано на рис. 5, з відповідними значеннями дисперсій, поданими (8), (14) та (16): суцільною лінією — для параболічного розподілення амплітуди, пунктирною — для амплітуди гармоніки з рівномірно розподіленою випадковою фазою, штрихпунктирною — для рівномірно розподіленої амплітуди.

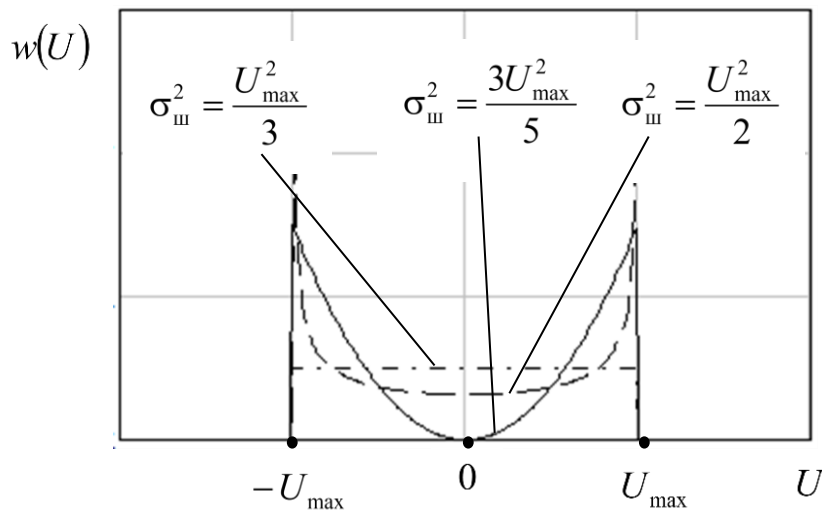


Рис. 5. Густини ймовірностей розподілень амплітуд найбільш ефективних шумових сигналів

### Розв'язання задачі для дискретних кодів шумового генератора

Генерування коду  $i$ ,  $i = 1, \dots, 2^M$   $M$ -розрядного ЦАП для ГШ (див. рис. 1) з кращою ефективністю придушення ПЕМВІН, яке тим точніше відтворює (15), чим більше  $M$  матиме розподілення амплітуд:

$$p_i = \frac{3\Delta}{2U_{\max}^3} (-U_{\max} + i\Delta - \Delta)^2, i = 1, \dots, 2^M, \quad (17)$$



де  $\Delta = 2U_{\max} / (2^M - 1)$  — крок квантування амплітуди сигналу.

Процес генерування шуму можна спростити, якщо не наближати (16) до (15) збільшенням  $M$ , а навпаки покласти в генеруванні цифрових випадкових  $i$ -кодів схеми рис. 1:  $M = 1$ . При цьому на виході МПС з імовірністю  $p_1$  генерується нуль (вихідна напруга  $-U_{\max}$ ), та з імовірністю  $p_2$  — одиниця (вихідна напруга  $U_{\max}$ ), а безперервне розподілення напруги  $U(t)$  на виході цифрового ГШ (див. рис. 6) є близьким до виродженого на краях інтервалу генерованих напруг:

$$w(U) = p_1 \delta(U + U_{\max}) + p_2 \delta(U - U_{\max}),$$

де  $\delta(x)$  — дельта-функція, з дисперсією у 5/3 разів більшою за (14), яким би не були  $p_1$  і  $p_2$ , що створюють повну групу подій.

Проте, це не означає, що структура спрощеного ГШ є кращою за подану рис. 1 з розподіленням (17). Сигнал на виході МПС рис. 6 можна вважати телеграфним [6, с. 320] з інтенсивністю пуассонівського потоку подій  $\lambda$ , спектральна густина потужності випадкового процесу якого дорівнюватиме

$$S(\omega) = \frac{2U_{\max}^2 \lambda}{\omega^2 + 4\lambda^2},$$

і нічого спільного не матиме з рівномірно розподіленим спектром частот від  $2\pi F_{\min}$  до  $2\pi F_{\max}$ , якою би великою не була  $\lambda$ . Отже, генерування шумового сигналу за допомогою ГШ (рис. 6) є недоцільним, оскільки якість шуму залишається низькою із-за нерівномірності її спектральної густини потужності.

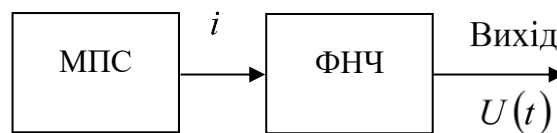


Рис. 6. Структура спрощеного ГШ для боротьби з ПЕМВІН

## Висновки

1. Усічений у межах від  $-U_{\max}$  до  $U_{\max}$  БГШ не є кращим для активного захисту інформації від витоку через ПЕМВІН з екранів моніторів на рідинно-кристалічних структурах.

2. Для активного захисту інформації від витоку через ПЕМВІН з екранів моніторів на рідинно-кристалічних структурах кращими шумовими сигналами  $U(t)$ ,  $U(t) \in [-U_{\max}, U_{\max}]$  є сигнали, які мають максимальну дисперсією при фіксованому  $U_{\max}$ .

3. Кращим шумом для активного захисту інформації від витоків через ПЕМВІН з екранів моніторів на рідинно-кристалічних структурах є шум з параболічним розподіленням амплітуди.

4. У разі ускладнення розрахункової задачі під час генерування шуму з параболічним розподіленням амплітуди його можна замінити на гармоніку  $U = U_{\max} \sin(\varphi)$  з рівномірно розподіленою фазою  $\varphi$ ,  $\varphi \in [0, 2\pi]$ , або на рівномірно розподілену на інтервалі  $[-U_{\max}, U_{\max}]$  випадкову величину.

1. Some Measurements on DVB-T Dongles with E4000 and R820 Tuners: Image Rejection, Intermodulation. URL: [http://f6fvy.free.fr/rtl\\_sdr/Some\\_Measurements\\_on\\_E4000\\_and\\_R820\\_Tuners.pdf](http://f6fvy.free.fr/rtl_sdr/Some_Measurements_on_E4000_and_R820_Tuners.pdf) (Дата звернення: 04.09.2021).

2. Владимиров В.И., Владимиров И.В., Наметкин В.В. Избранные вопросы радиоэлектронного подавления цифровых сигналов систем радиосвязи. Воронеж, ВАИУ, 2010. 119 с.

3. Тетерич Н.М. Генераторы шума и измерение шумовых характеристик. Москва: Энергия, 1968. 343 с.

4. Иванов М.А., Чугунков И.В. Теория, применение и оценка качества генераторов псевдослучайных последовательностей. Москва: КУДИЦ-ОБРАЗ, 2003. 124 с.

5. Євграфов Д.В. Фізичні основи захисту інформації в радіоелектронній апаратурі: навч. посіб. Київ: НТУУ «КПІ», 2014. 176 с.

6. Левин Б.Р. Теоретические основы статистической радиотехники. Москва: Радио и связь, 1989. – 656 с.

7. Генератор віброакустичного зашумлення MAPC-T3O-4-2. URL: <https://radio-security.com.ua/ua/p44207270-generator-vibroakusticheskogo-zashumleniya.html> (Дата звернення: 04.09.2021).

Надійшла до редакції 13.10.2022